

PLÁN UDRŽITELNÉ MĚSTSKÉ MOBILITY MĚSTA TŘEBÍČE

Rozptylová studie

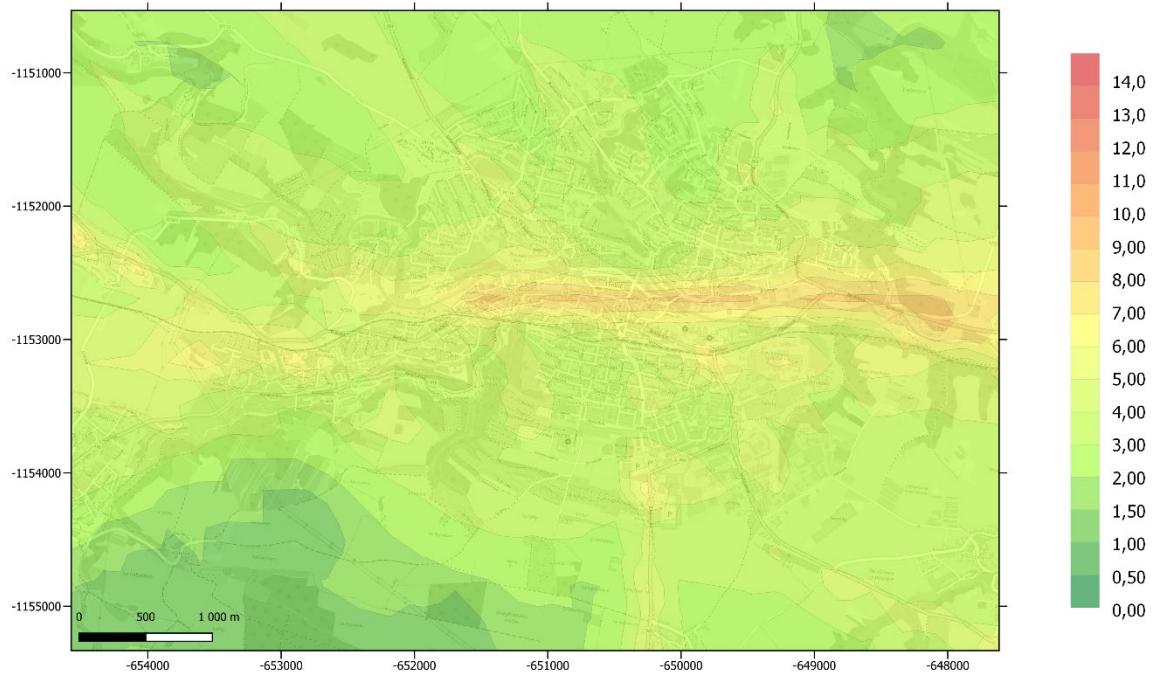
*Příloha 2.1: Grafické znázornění
příspěvků k imisním koncentracím*

31. 8. 2022

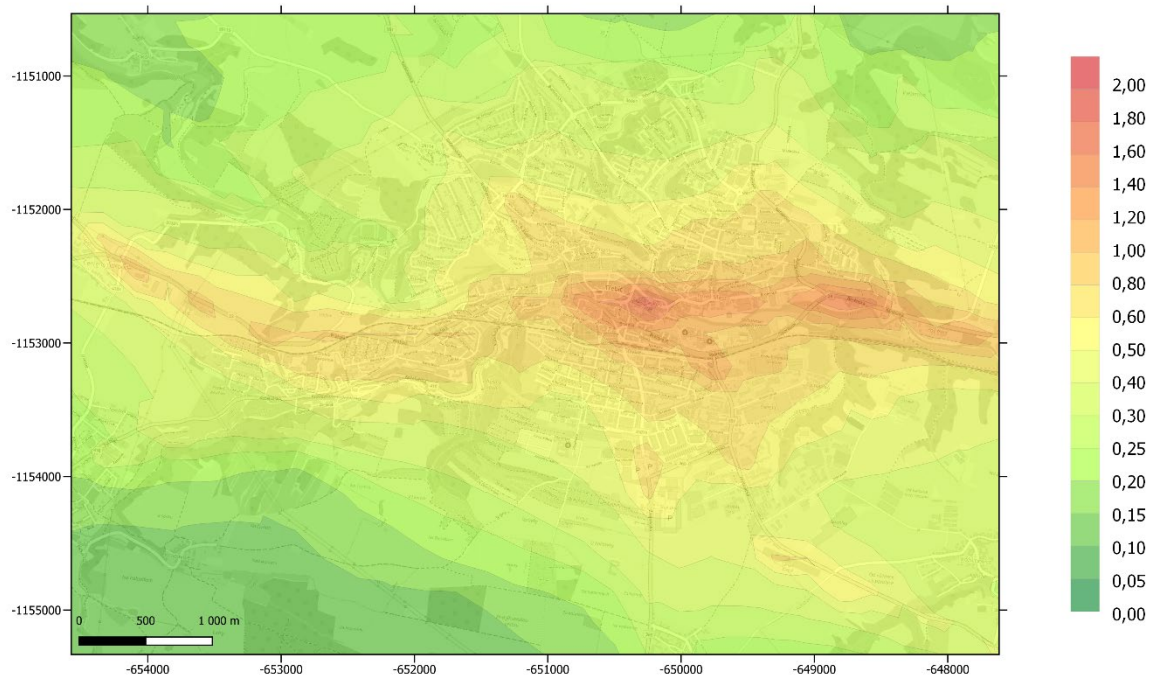
1. Nulový scénář

stávající stav (rok 2022)

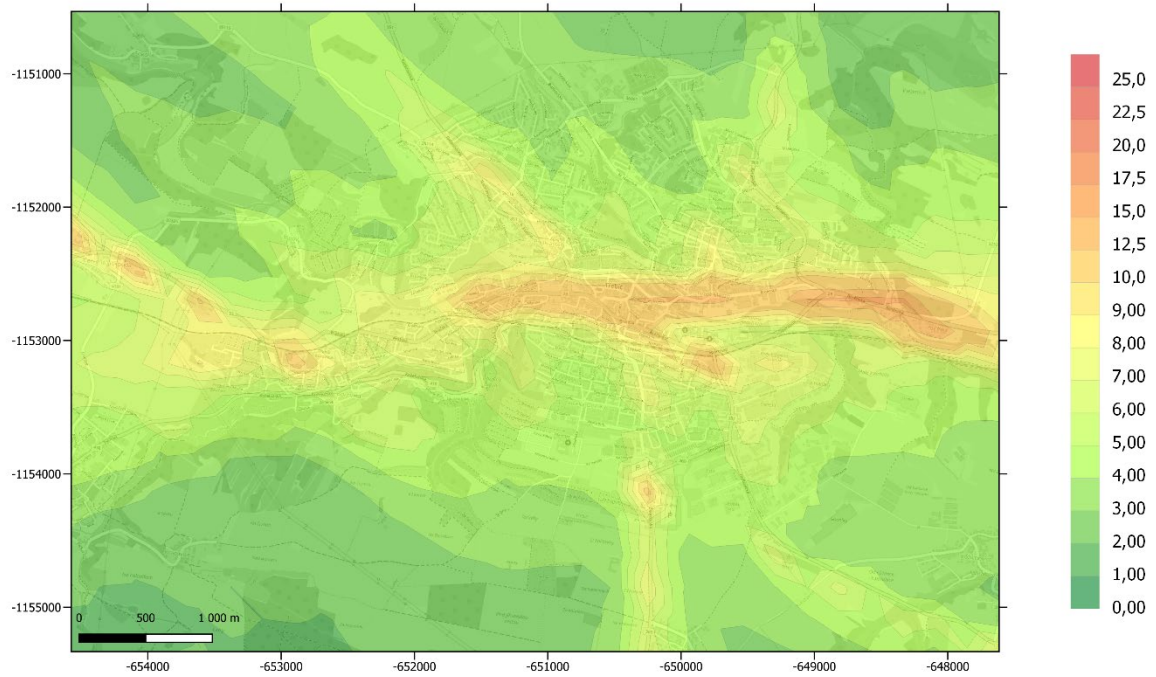
Příspěvek k maximálním hodinovým imisním koncentracím oxidu dusičitého ($\mu\text{g}\cdot\text{m}^{-3}$)



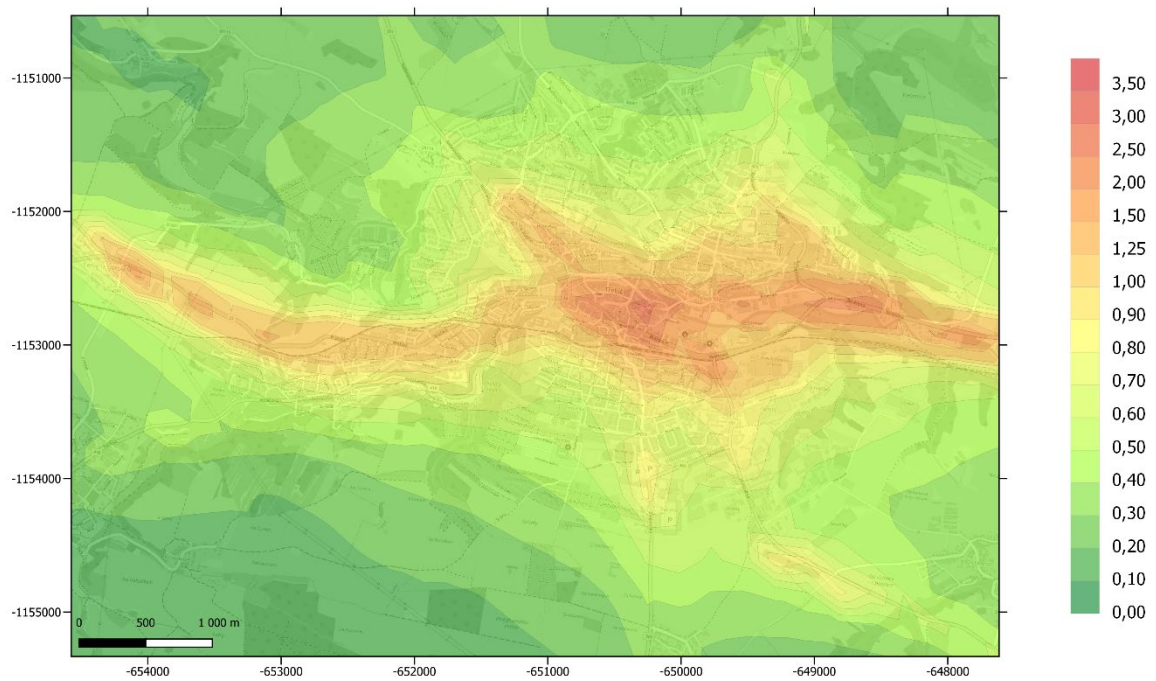
Příspěvek k průměrným ročním imisním koncentracím oxidu dusičitého ($\mu\text{g}/\text{m}^3$)



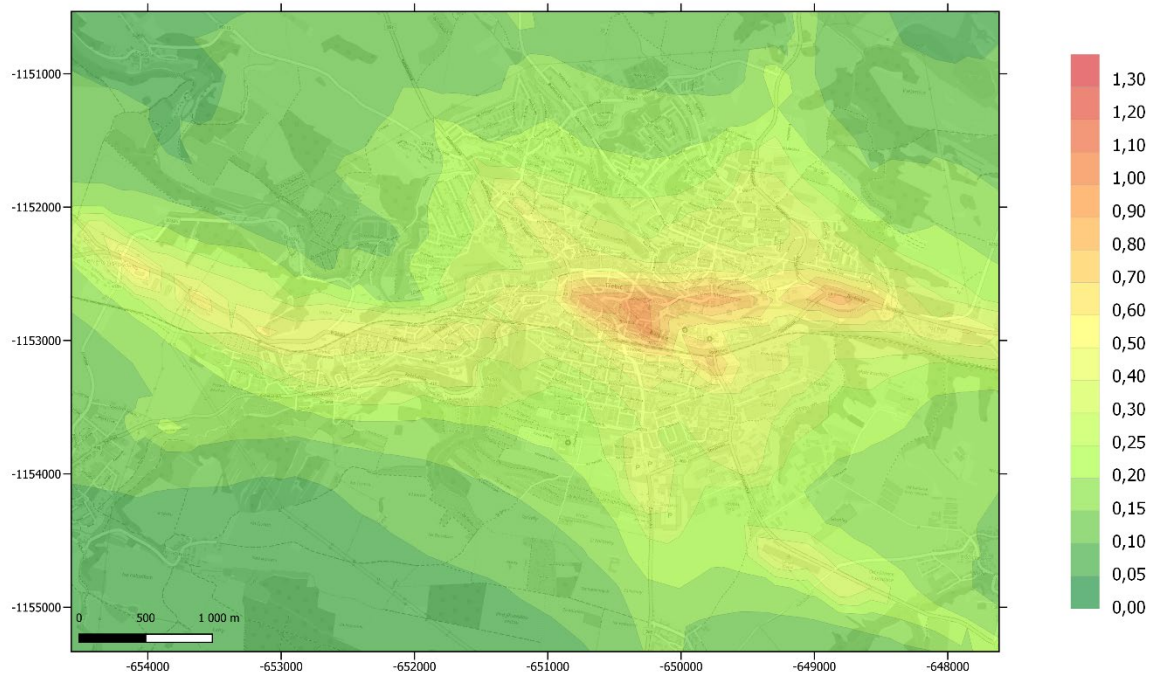
Příspěvek k nejvyšším denním imisním koncentracím částic PM10 ($\mu\text{g}\cdot\text{m}^{-3}$)



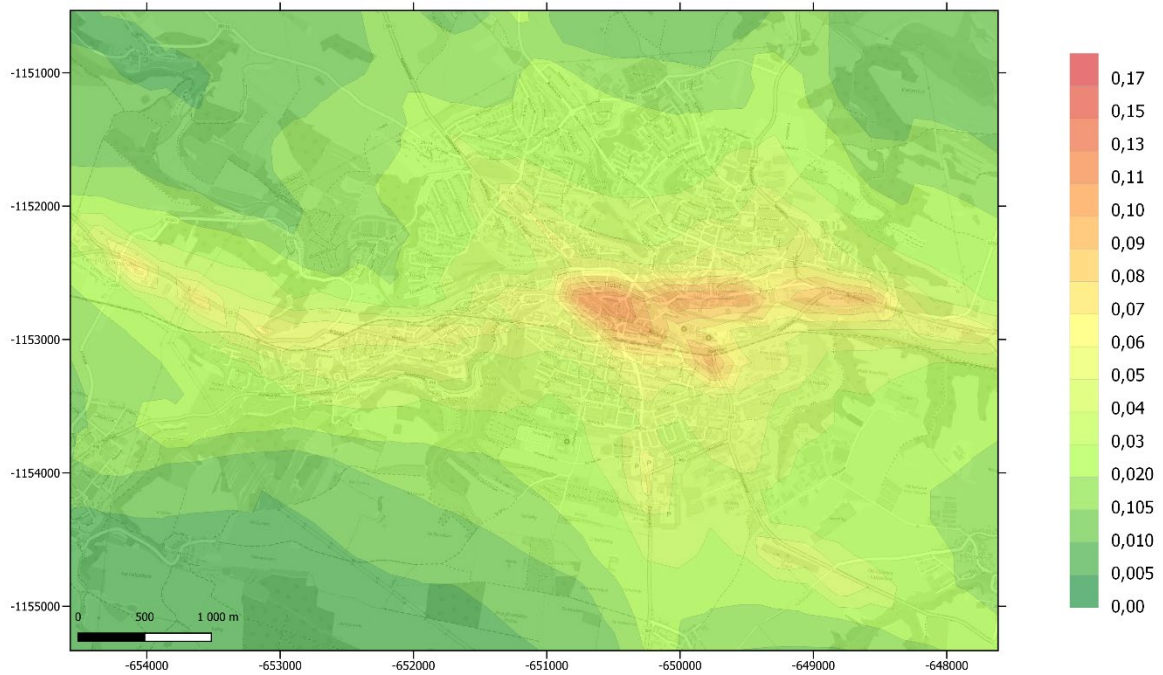
Příspěvek k průměrným ročním imisním koncentracím částic PM10 ($\mu\text{g}\cdot\text{m}^{-3}$)



Příspěvek k průměrným ročním imisním koncentracím částic PM_{2,5} ($\mu\text{g}\cdot\text{m}^{-3}$)

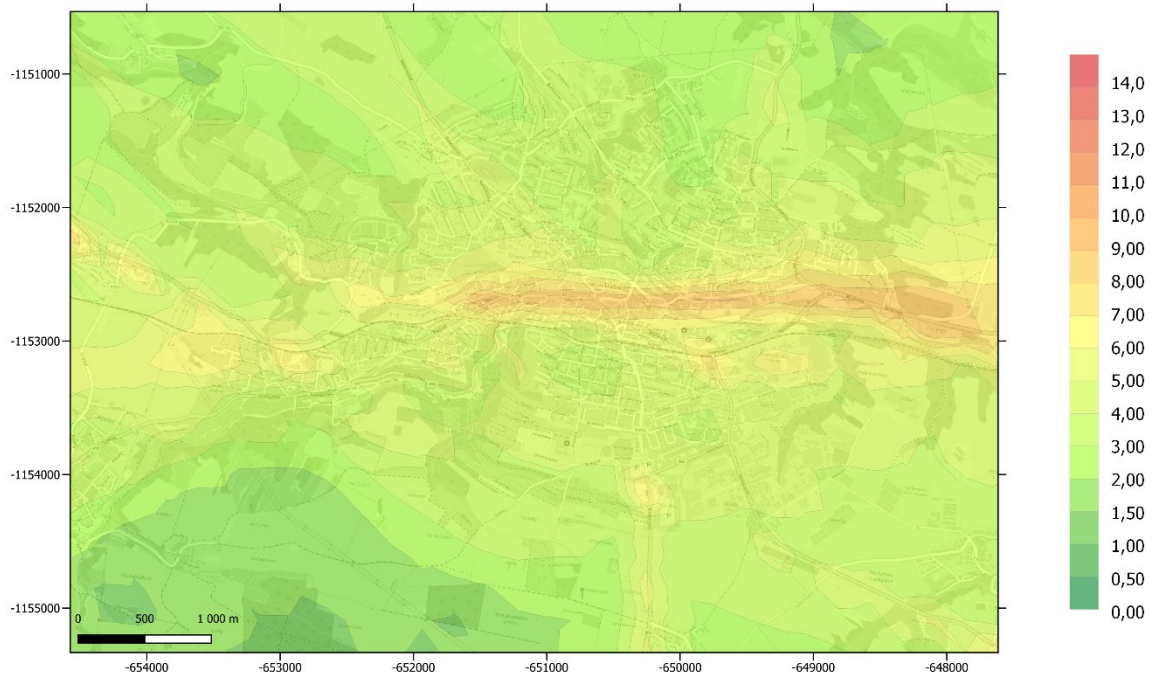


Příspěvek k průměrným ročním imisním koncentracím benzo[*a*]pyrenu ($\text{ng}\cdot\text{m}^{-3}$)

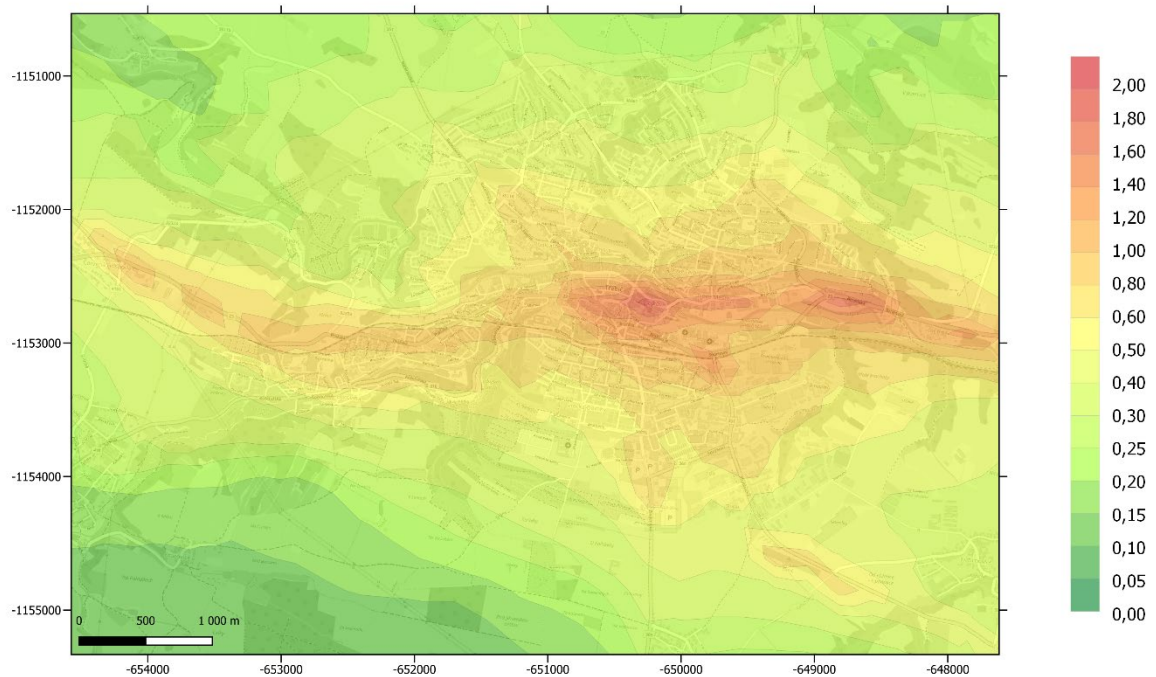


1. Scénář stávající stav (modelový rok 2030)

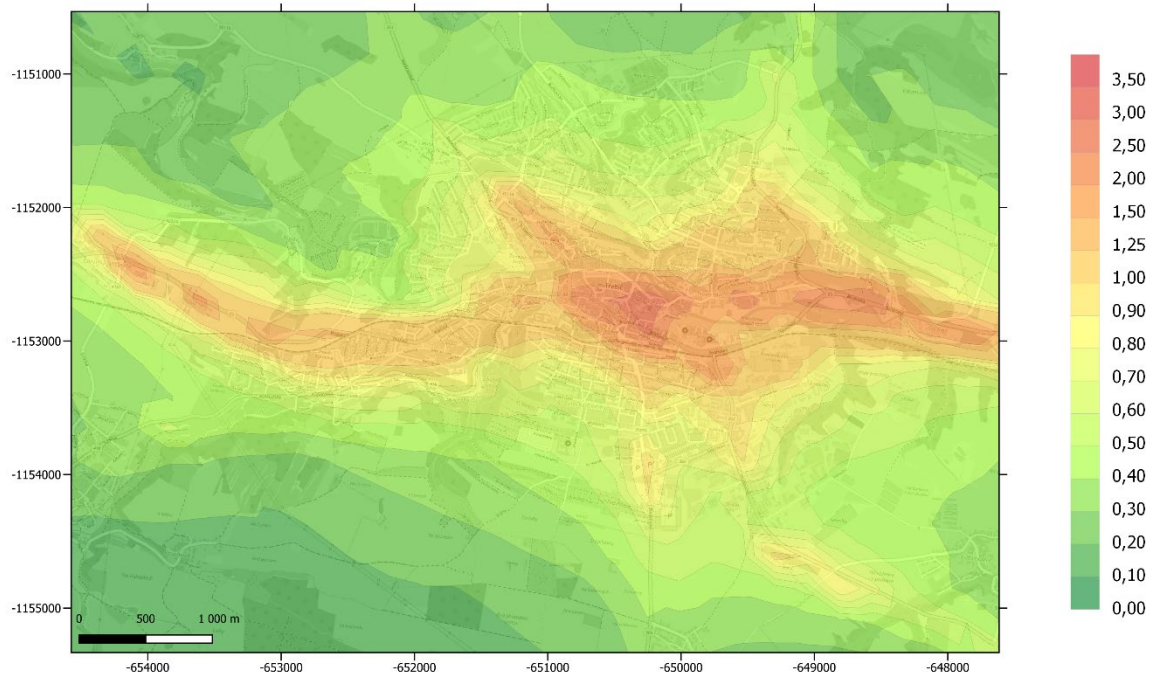
Příspěvek k maximálním hodinovým imisním koncentracím oxidu dusičitého ($\mu\text{g}\cdot\text{m}^{-3}$)



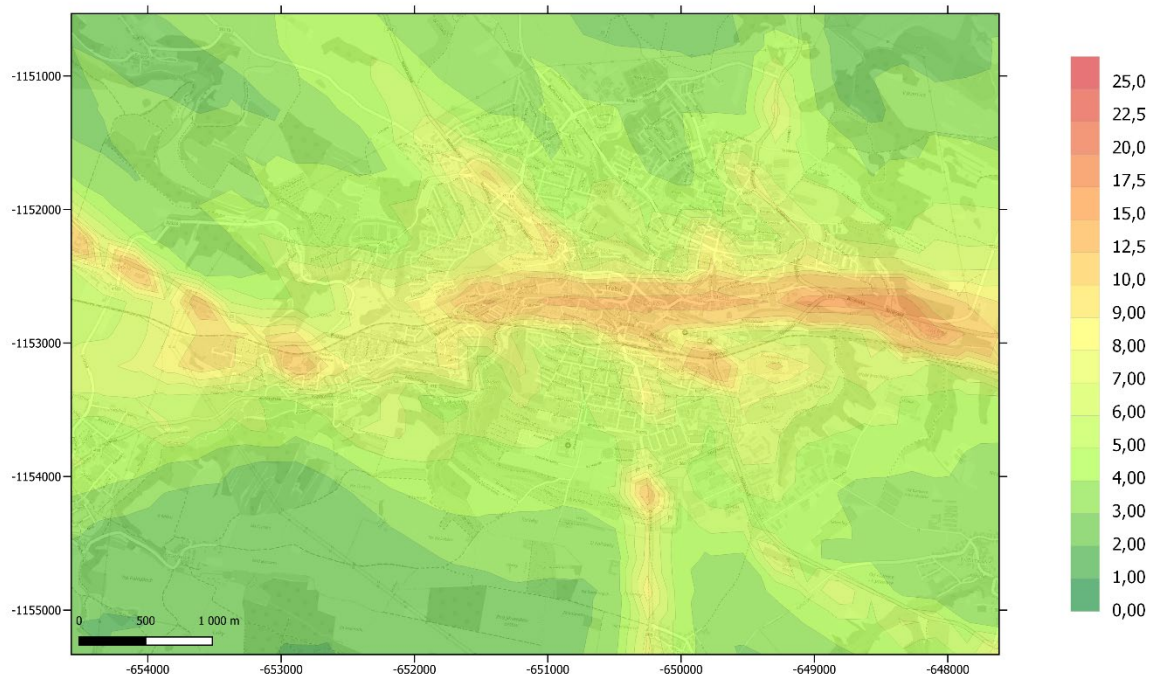
Příspěvek k průměrným ročním imisním koncentracím oxidu dusičitého ($\mu\text{g}/\text{m}^3$)



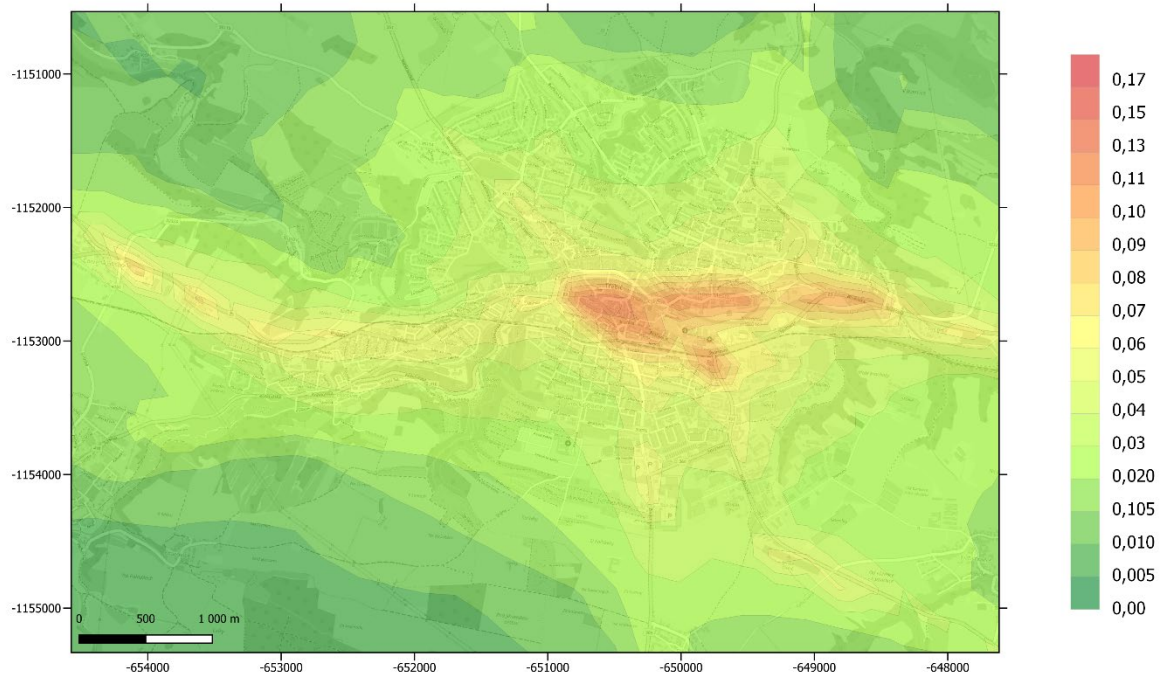
Příspěvek k průměrným ročním imisním koncentracím částic PM10 ($\mu\text{g}\cdot\text{m}^{-3}$)



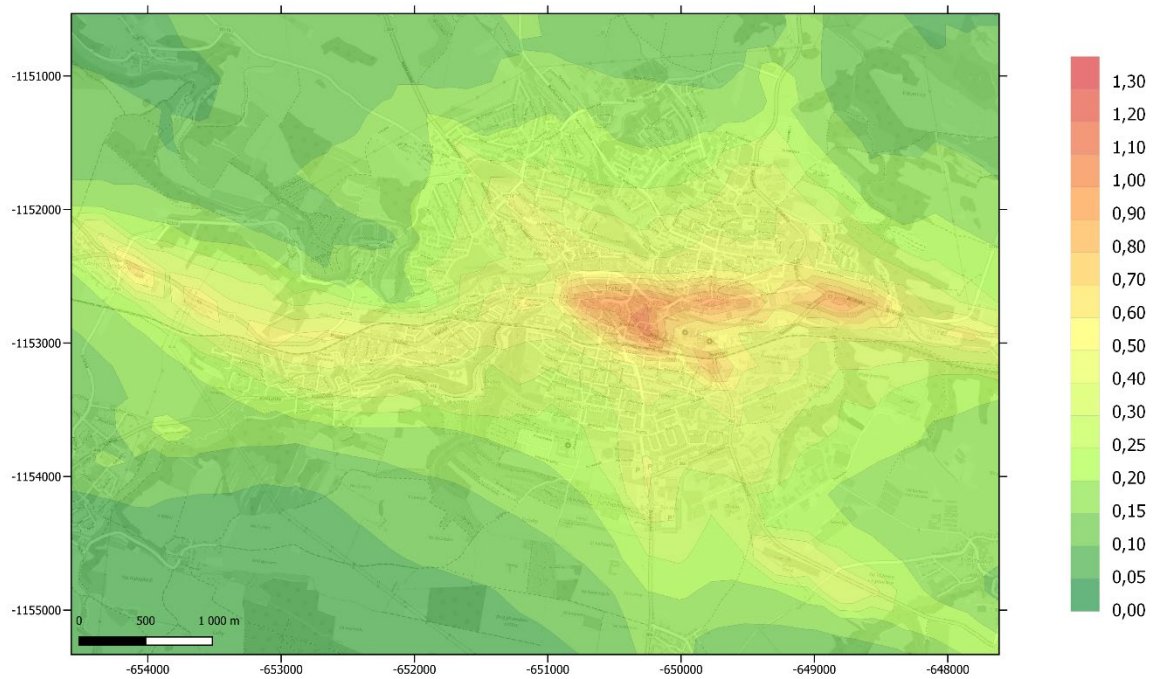
Příspěvek k nejvyšším denním imisním koncentracím částic PM10 ($\mu\text{g}\cdot\text{m}^{-3}$)



Příspěvek k průměrným ročním imisním koncentracím částic PM_{2,5} ($\mu\text{g}\cdot\text{m}^{-3}$)

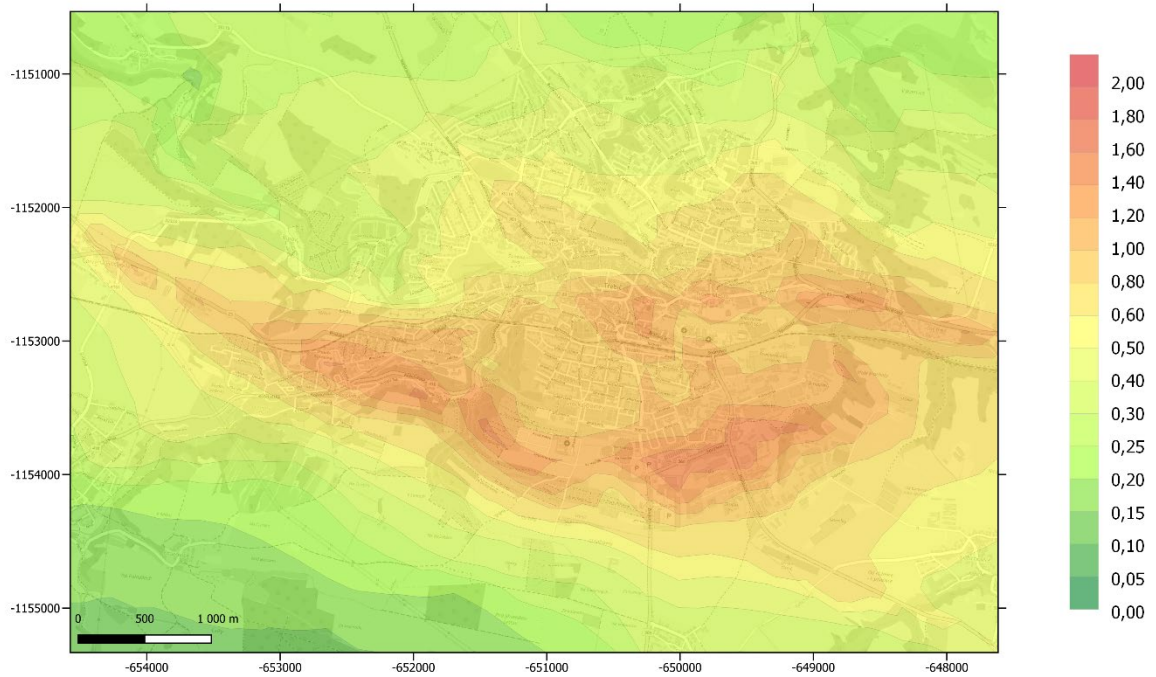


Příspěvek k průměrným ročním imisním koncentracím benzo[*a*]pyrenu ($\text{ng}\cdot\text{m}^{-3}$)

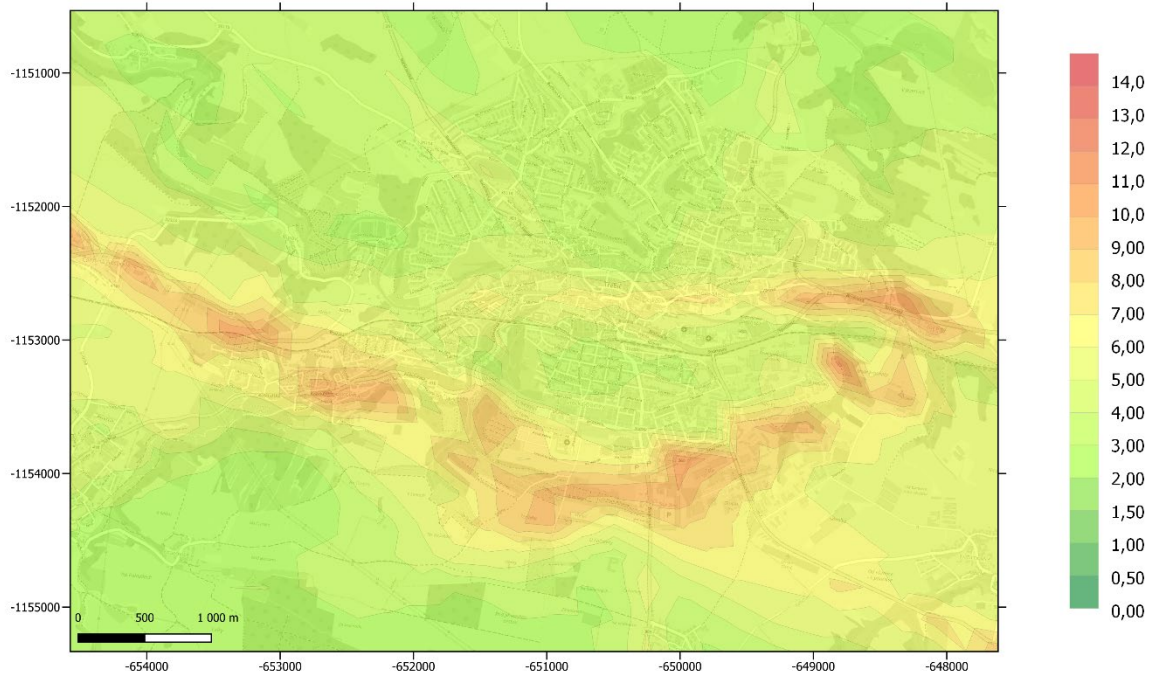


2. Scénář obchvat modelový rok 2030

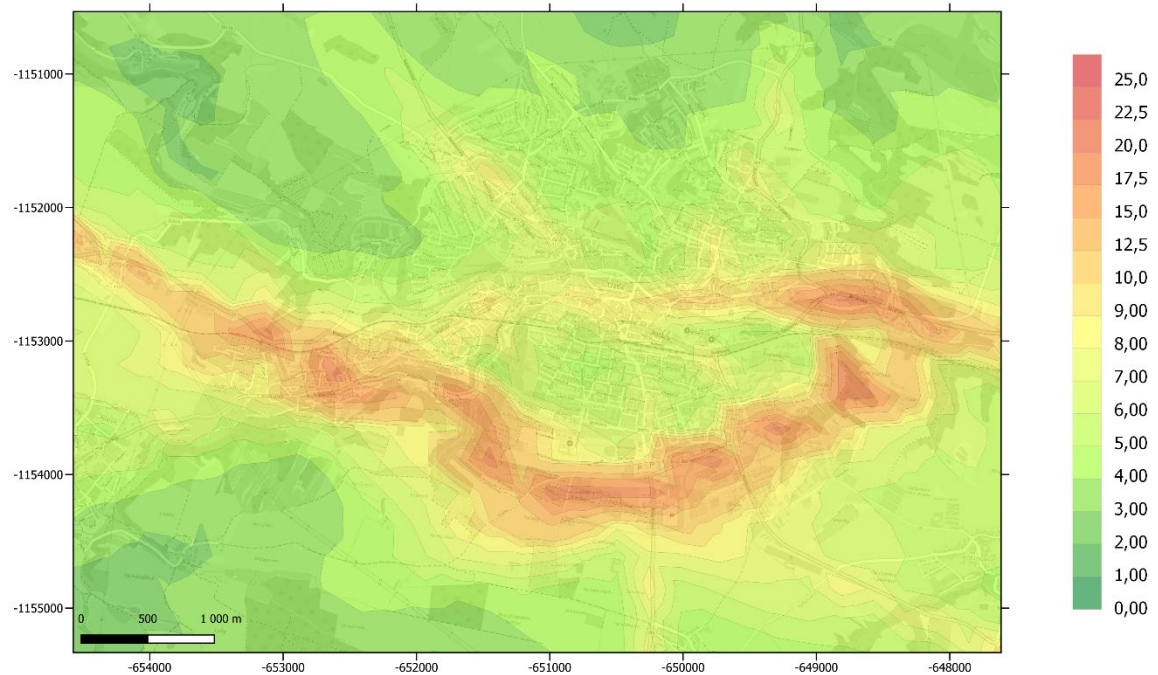
Příspěvek k průměrným ročním imisním koncentracím oxidu dusičitého ($\mu\text{g}/\text{m}^3$)



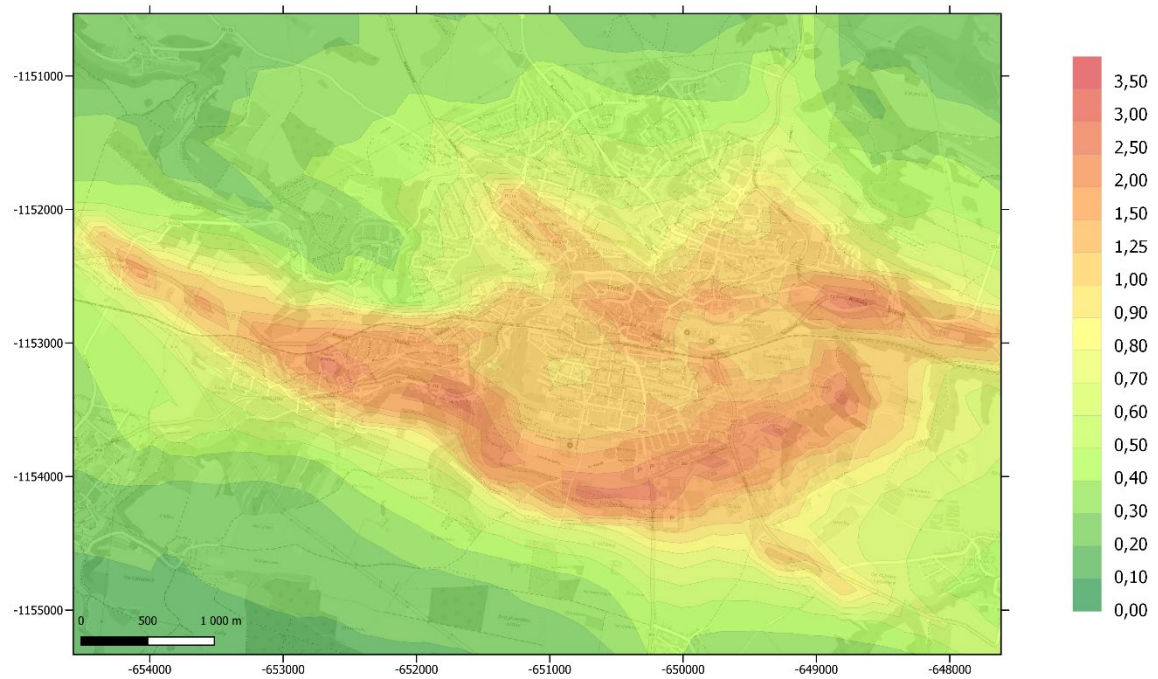
Příspěvek k maximálním hodinovým imisním koncentracím oxidu dusičitého ($\mu\text{g}\cdot\text{m}^{-3}$)



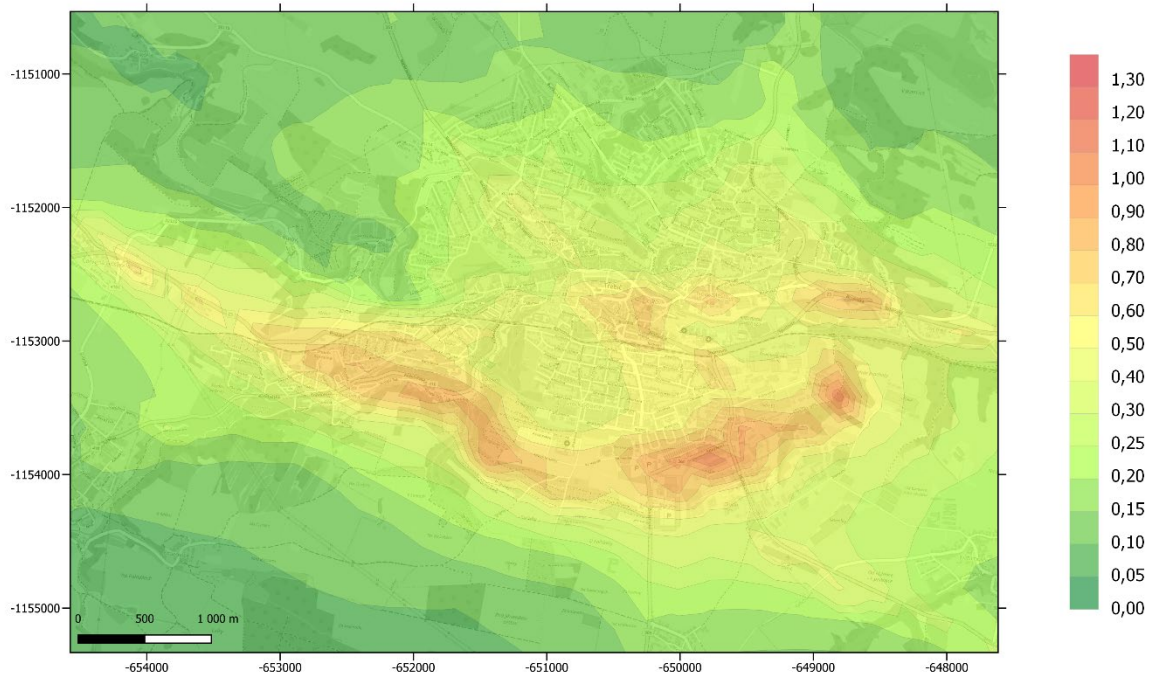
Příspěvek k nejvyšším denním imisním koncentracím částic PM10 ($\mu\text{g}\cdot\text{m}^{-3}$)



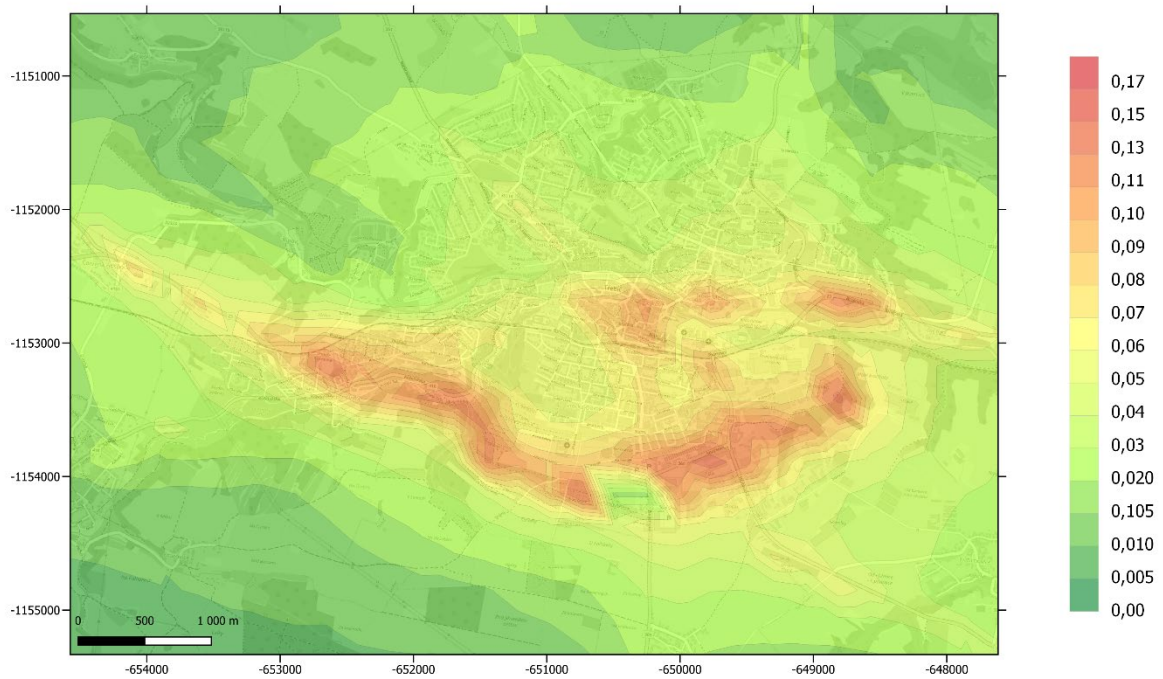
Příspěvek k průměrným ročním imisním koncentracím částic PM10 ($\mu\text{g}\cdot\text{m}^{-3}$)



Příspěvek k průměrným ročním imisním koncentracím částic PM_{2,5} ($\mu\text{g}\cdot\text{m}^{-3}$)

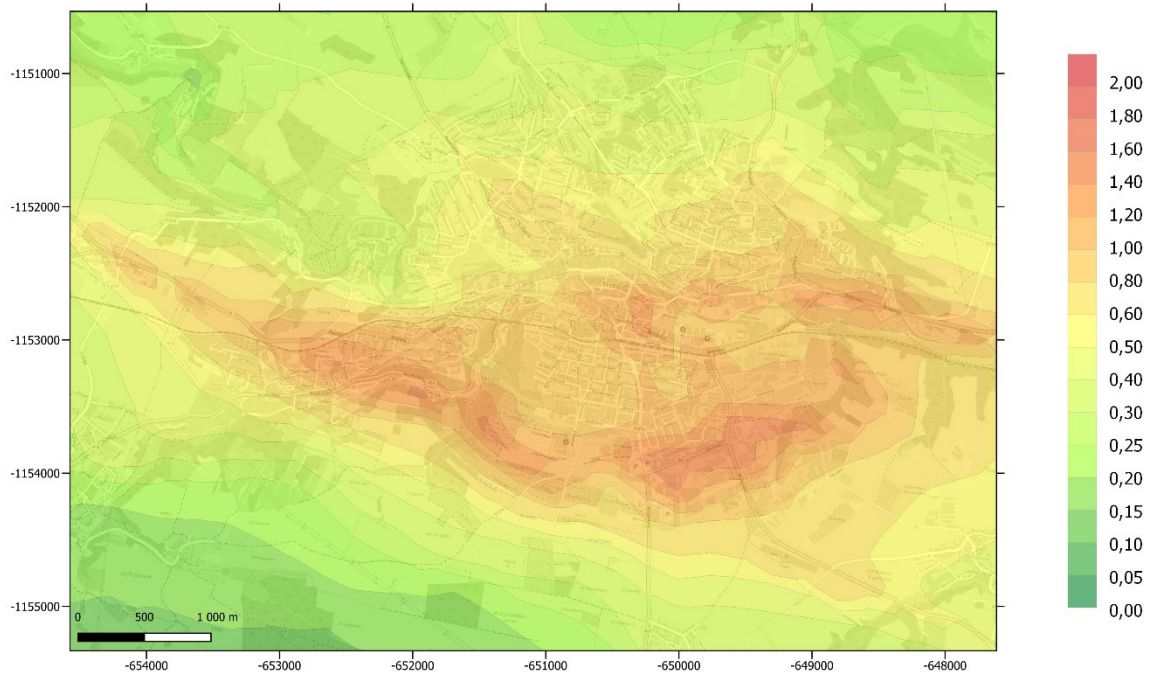


Příspěvek k průměrným ročním imisním koncentracím benzo[a]pyrenu ($\text{ng}\cdot\text{m}^{-3}$)

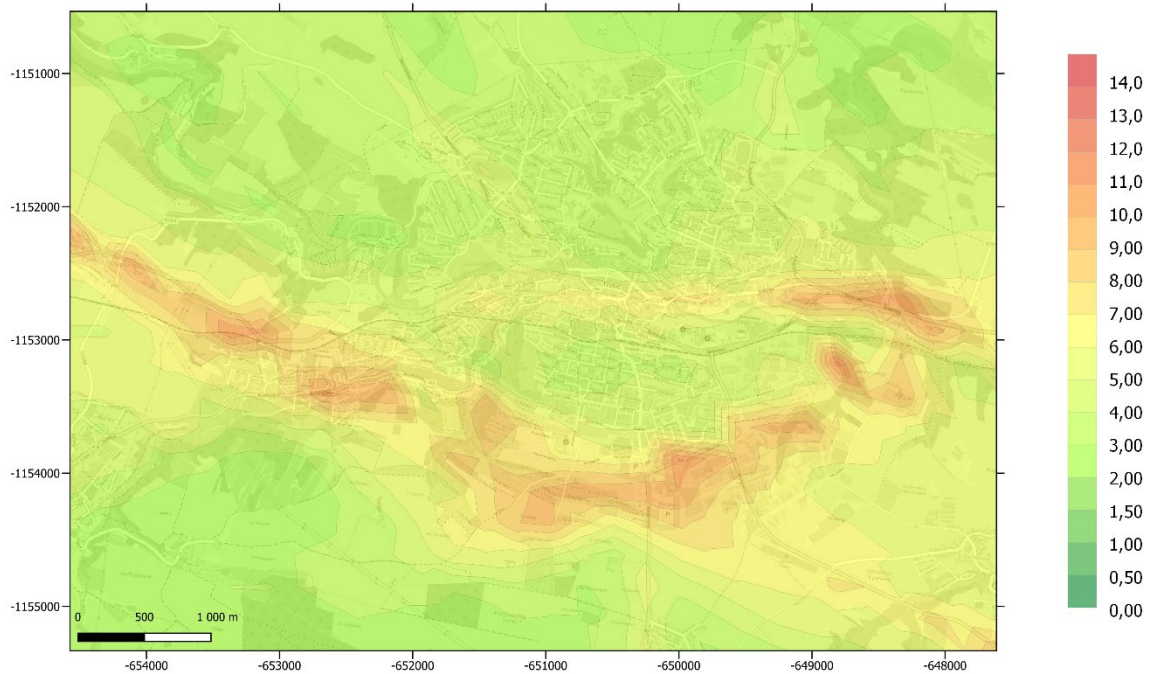


3. Scénář komplet modelový rok 2030

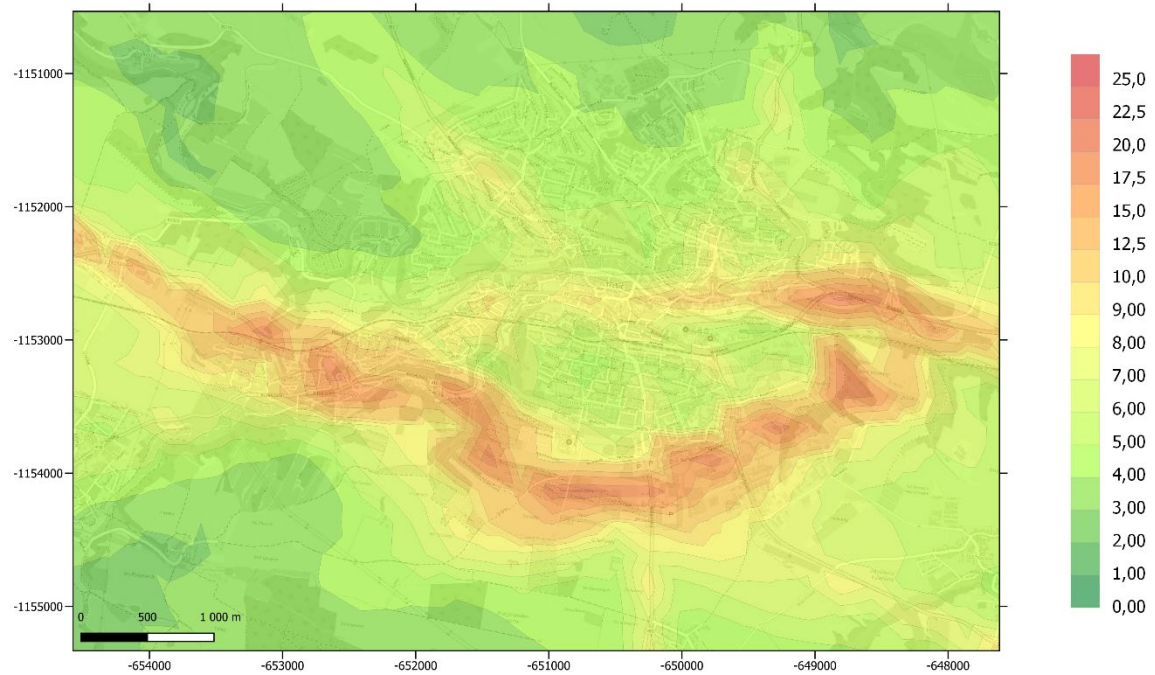
Příspěvek k průměrným ročním imisním koncentracím oxidu dusičitého ($\mu\text{g}/\text{m}^3$)



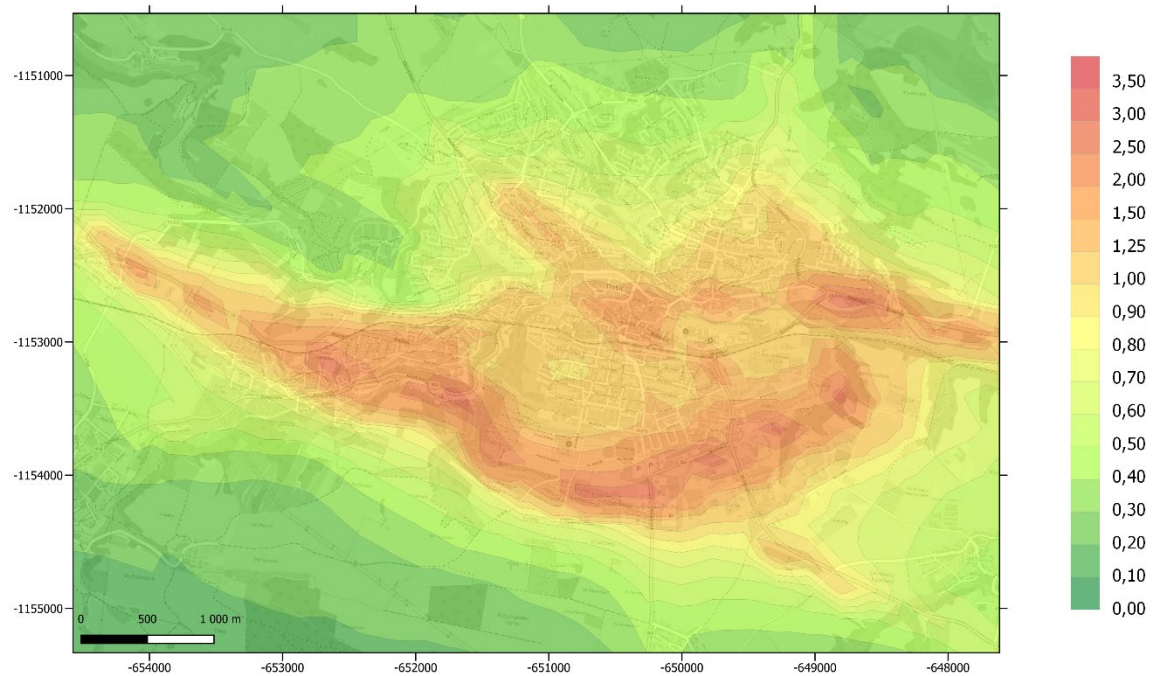
Příspěvek k maximálním hodinovým imisním koncentracím oxidu dusičitého ($\mu\text{g}\cdot\text{m}^{-3}$)



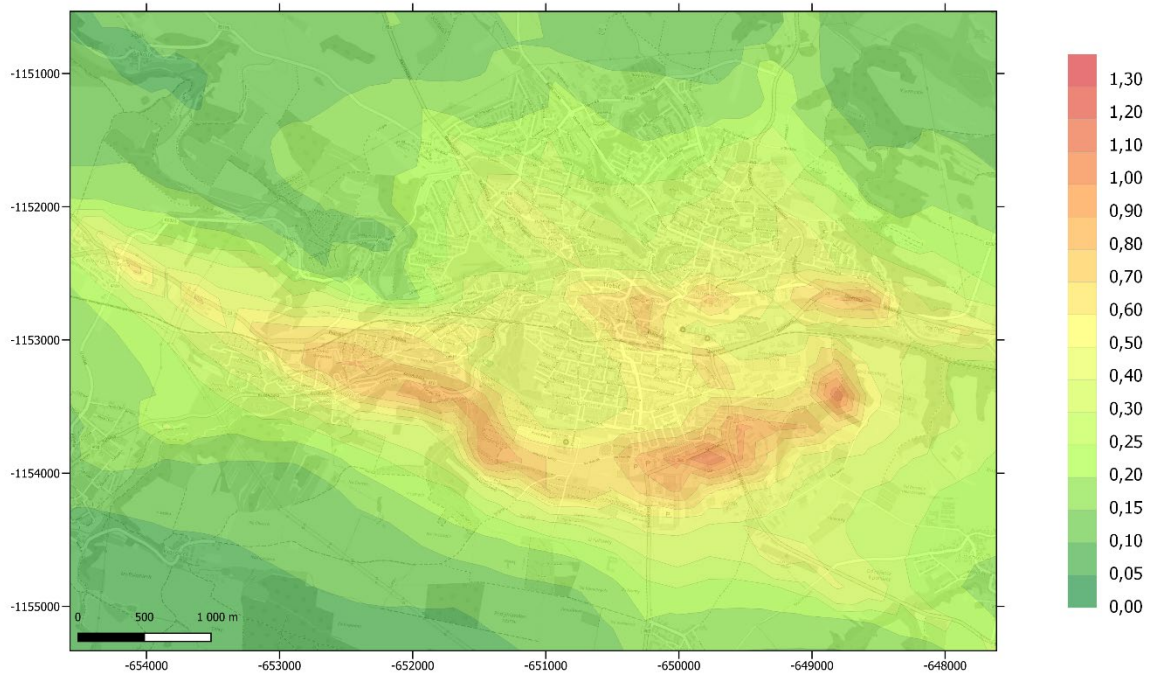
Příspěvek k nejvyšším denním imisním koncentracím částic PM10 ($\mu\text{g}\cdot\text{m}^{-3}$)



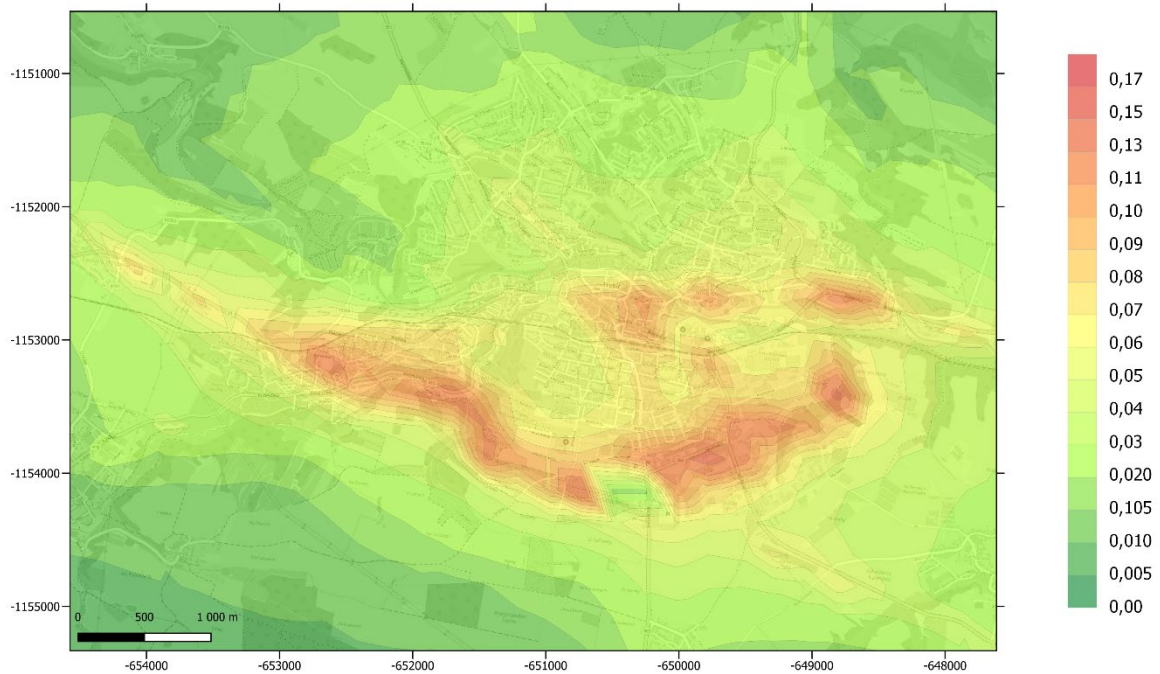
Příspěvek k průměrným ročním imisním koncentracím částic PM10 ($\mu\text{g}\cdot\text{m}^{-3}$)



Příspěvek k průměrným ročním imisním koncentracím částic PM_{2,5} ($\mu\text{g}\cdot\text{m}^{-3}$)

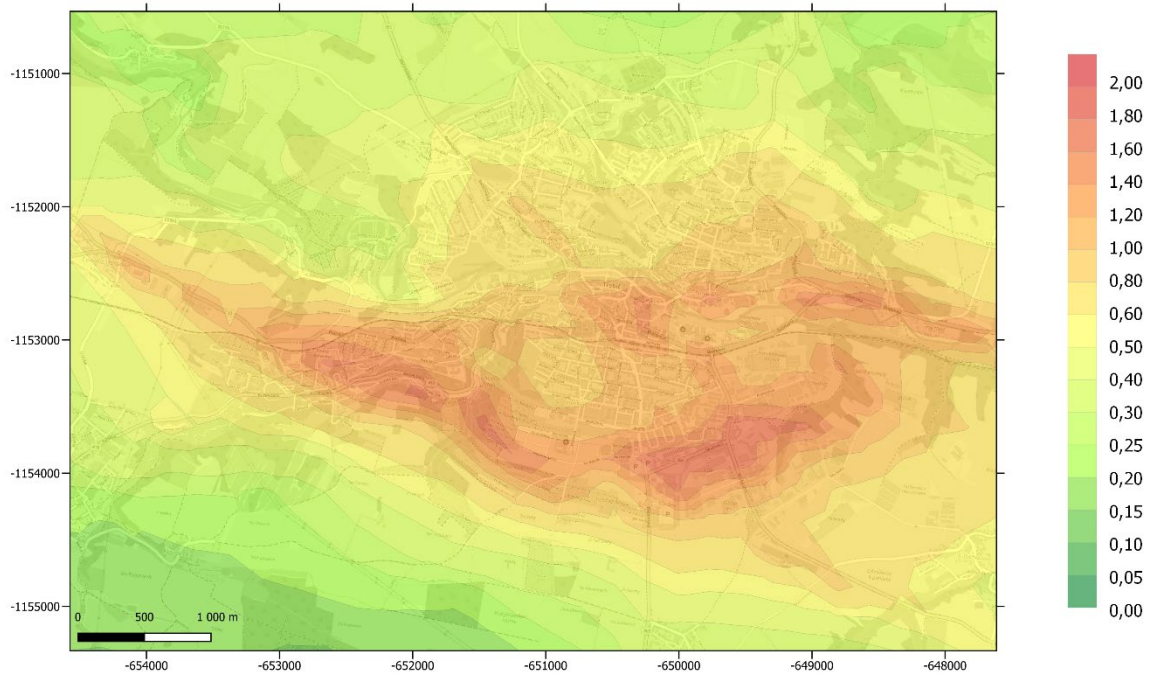


Příspěvek k průměrným ročním imisním koncentracím benzo[*a*]pyrenu ($\text{ng}\cdot\text{m}^{-3}$)

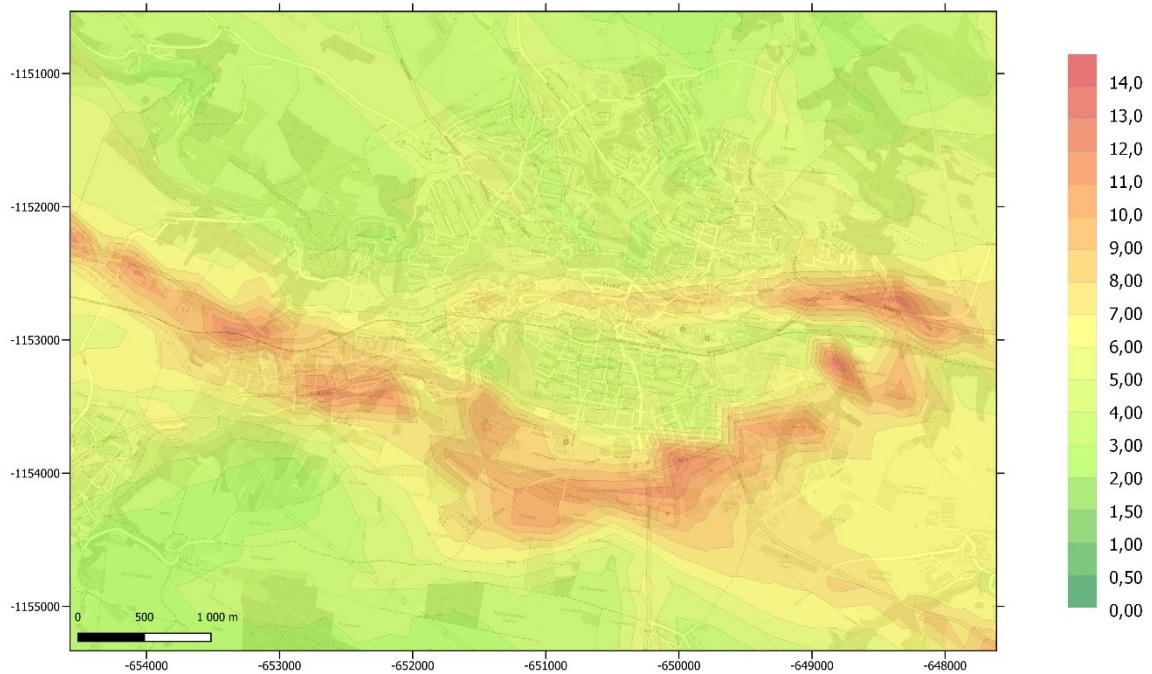


4. Scénář komplet modelový rok 2030

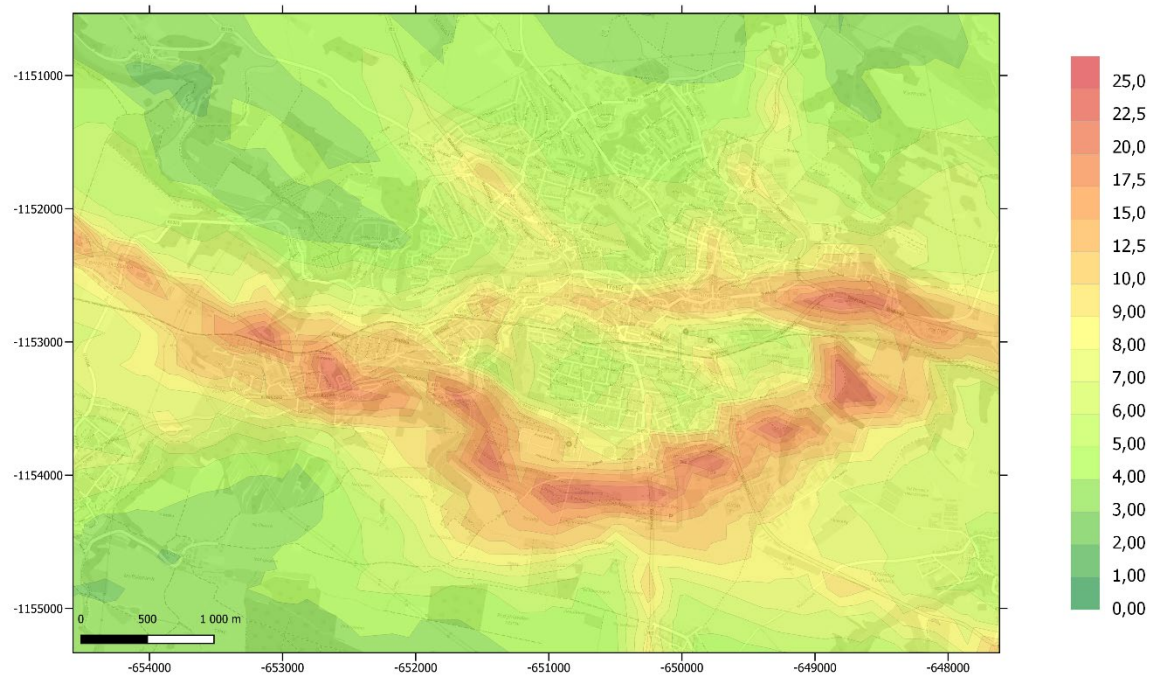
Příspěvek k průměrným ročním imisním koncentracím oxidu dusičitého ($\mu\text{g}/\text{m}^3$)



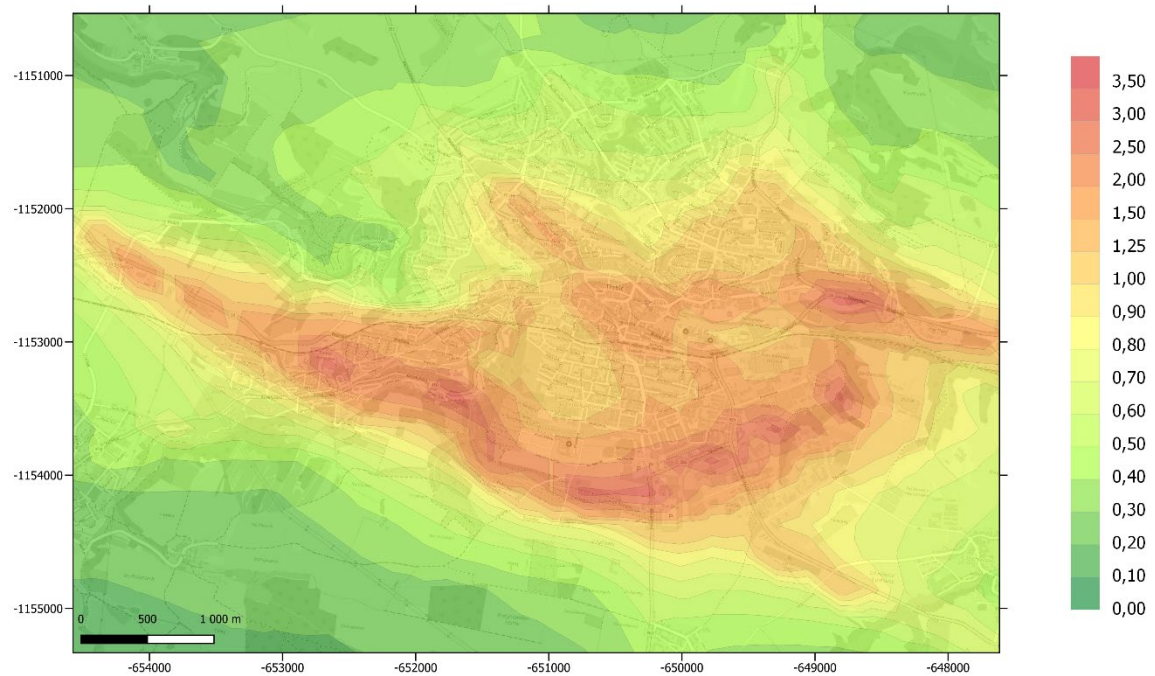
Příspěvek k maximálním hodinovým imisním koncentracím oxidu dusičitého ($\mu\text{g}\cdot\text{m}^{-3}$)



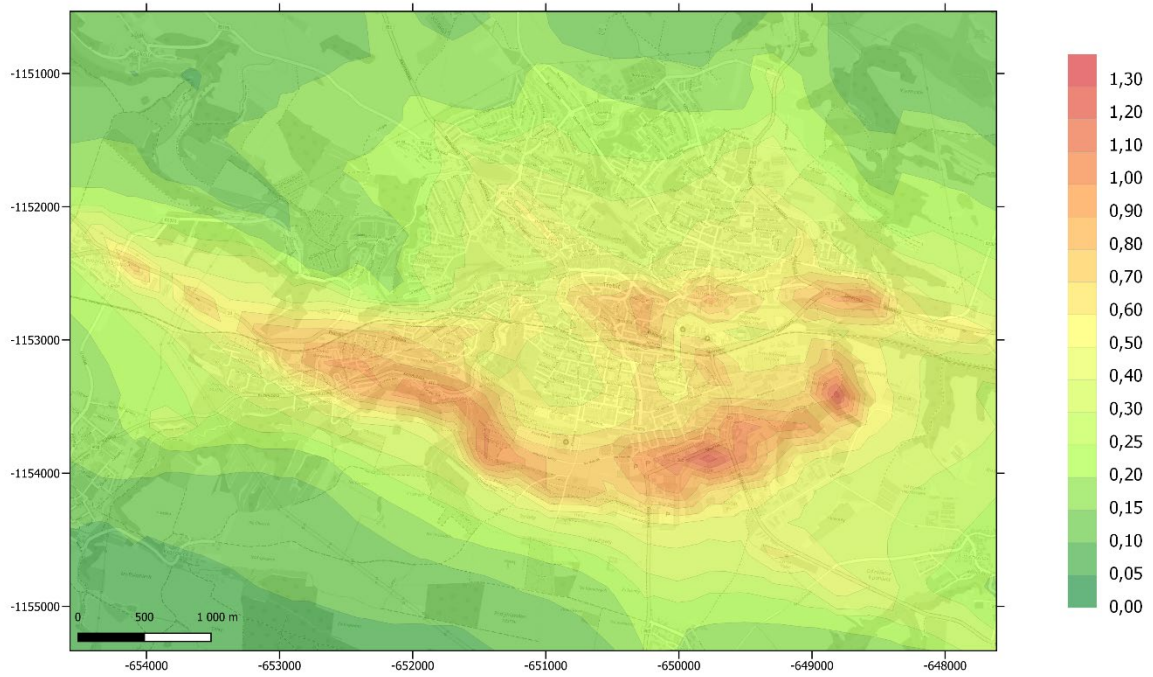
Příspěvek k nejvyšším denním imisním koncentracím částic PM10 ($\mu\text{g}\cdot\text{m}^{-3}$)



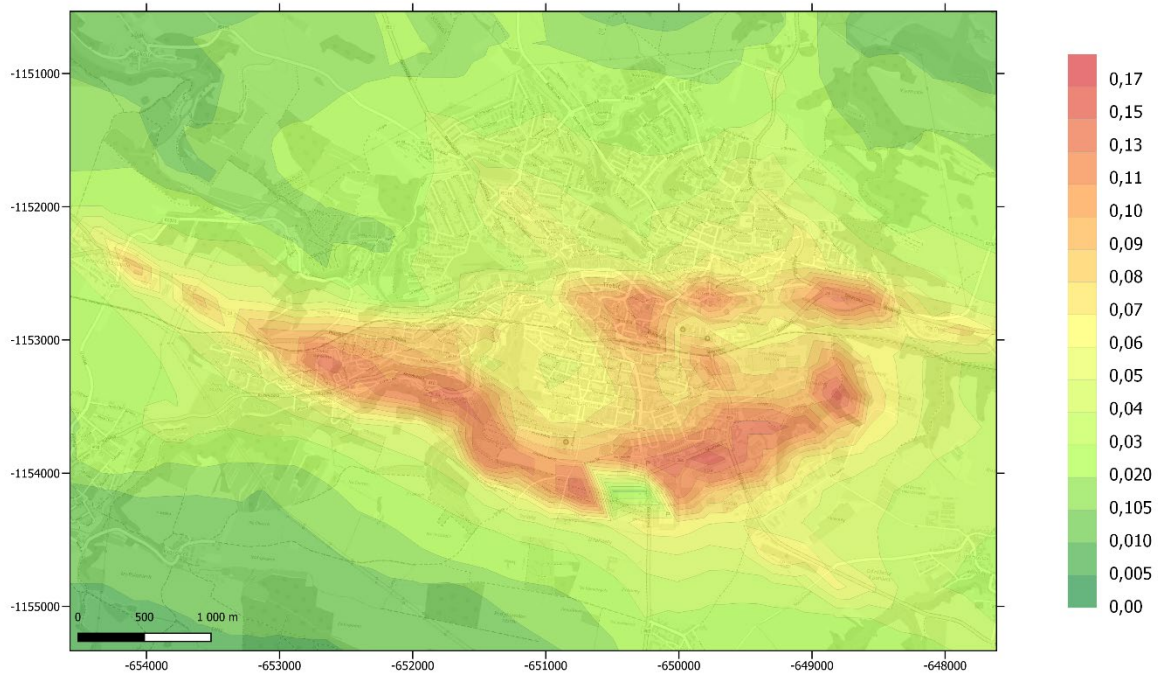
Příspěvek k průměrným ročním imisním koncentracím částic PM10 ($\mu\text{g}\cdot\text{m}^{-3}$)



Příspěvek k průměrným ročním imisním koncentracím částic PM_{2,5} ($\mu\text{g}\cdot\text{m}^{-3}$)

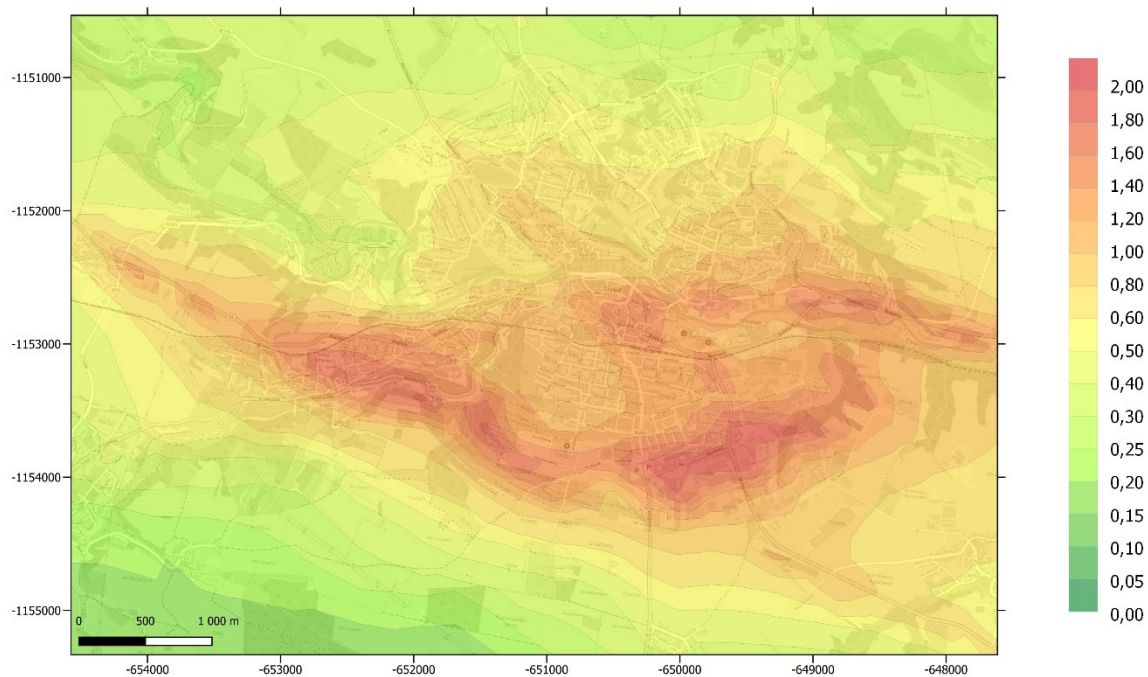


Příspěvek k průměrným ročním imisním koncentracím benzo[a]pyrenu ($\text{ng}\cdot\text{m}^{-3}$)

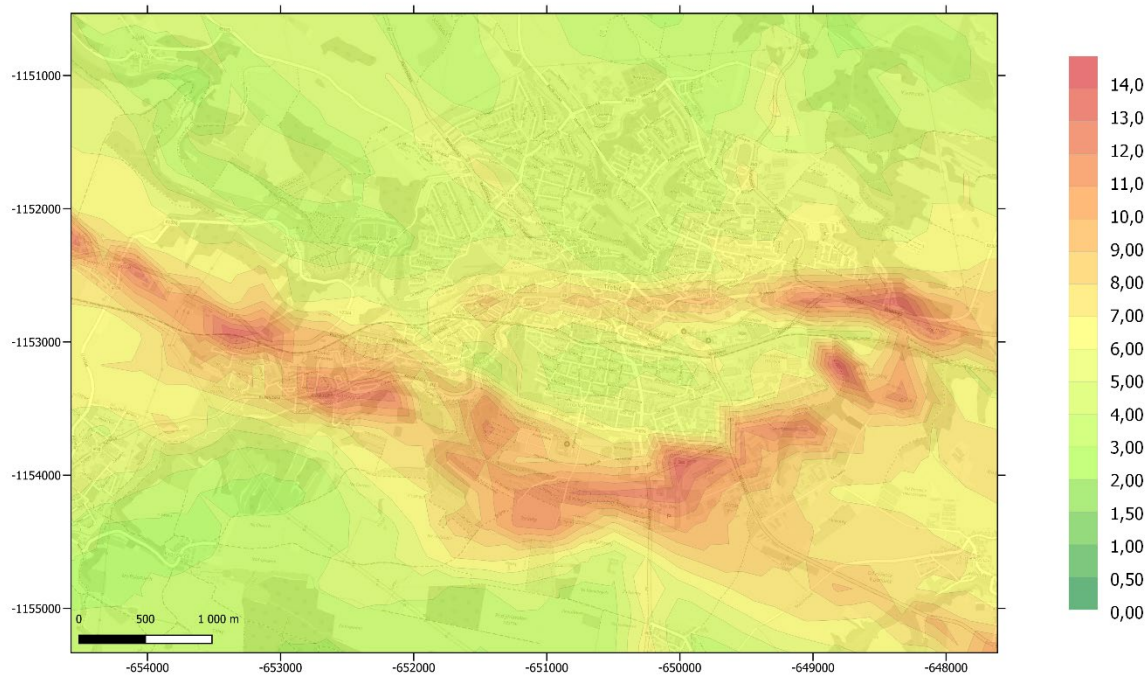


4. Scénář obchvat modelový rok 2050

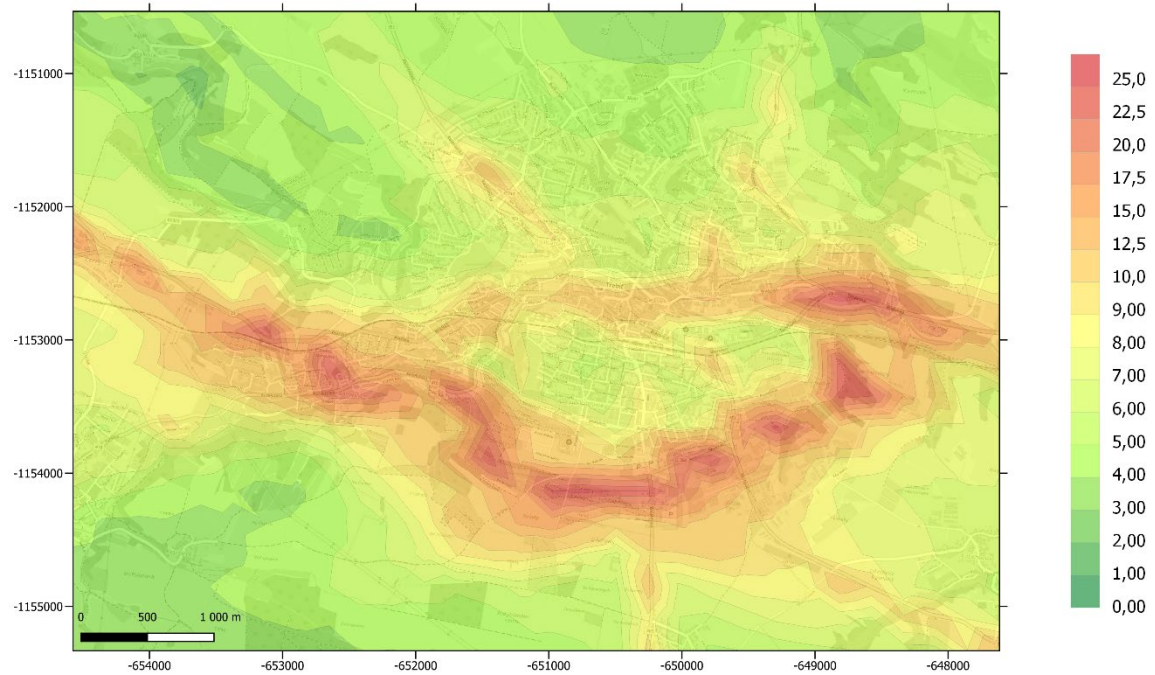
Příspěvek k průměrným ročním imisním koncentracím oxidu dusičitého ($\mu\text{g}/\text{m}^3$)



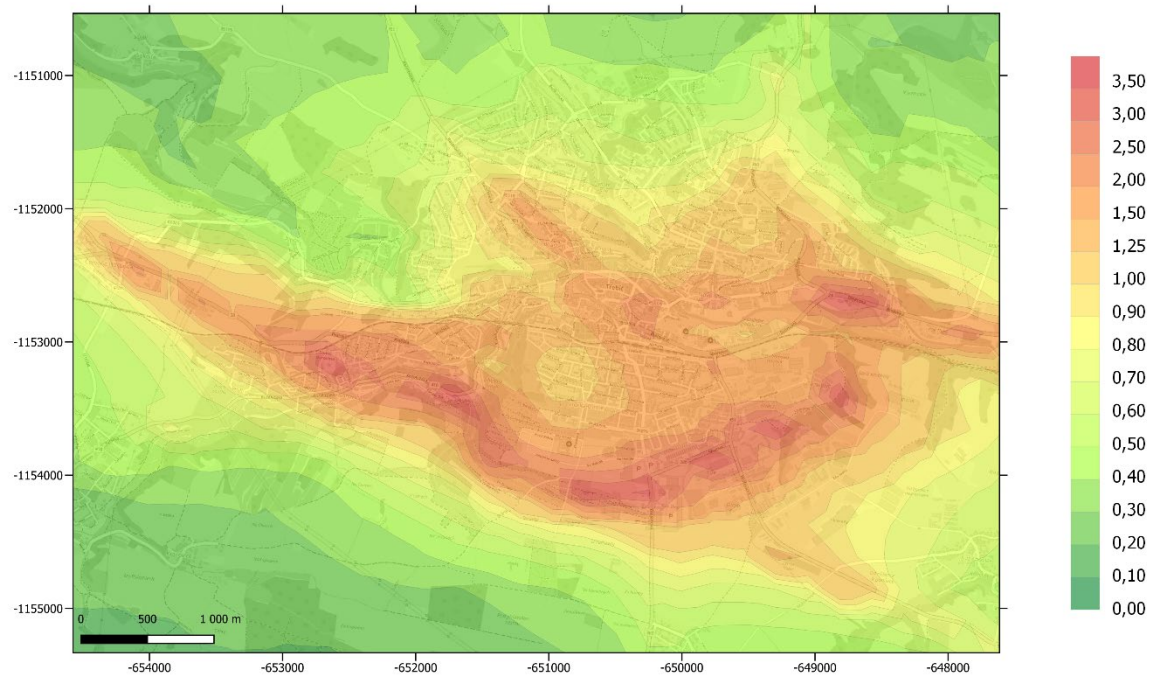
Příspěvek k maximálním hodinovým imisním koncentracím oxidu dusičitého ($\mu\text{g}\cdot\text{m}^{-3}$)



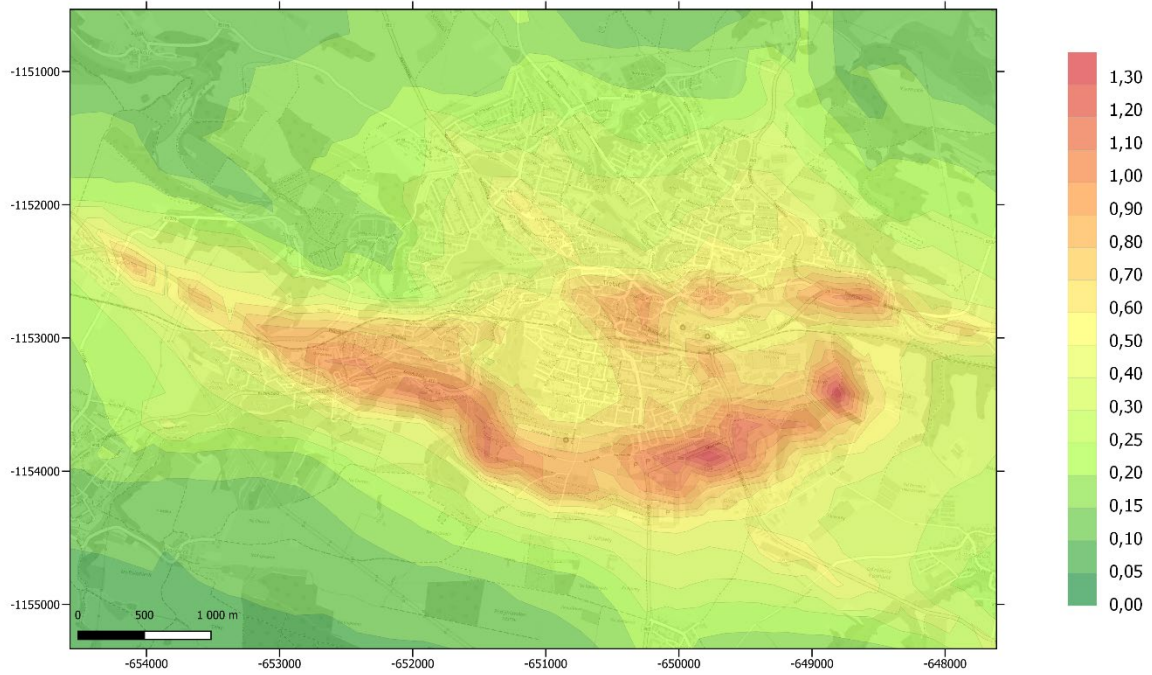
Příspěvek k nejvyšším denním imisním koncentracím částic PM10 ($\mu\text{g}\cdot\text{m}^{-3}$)



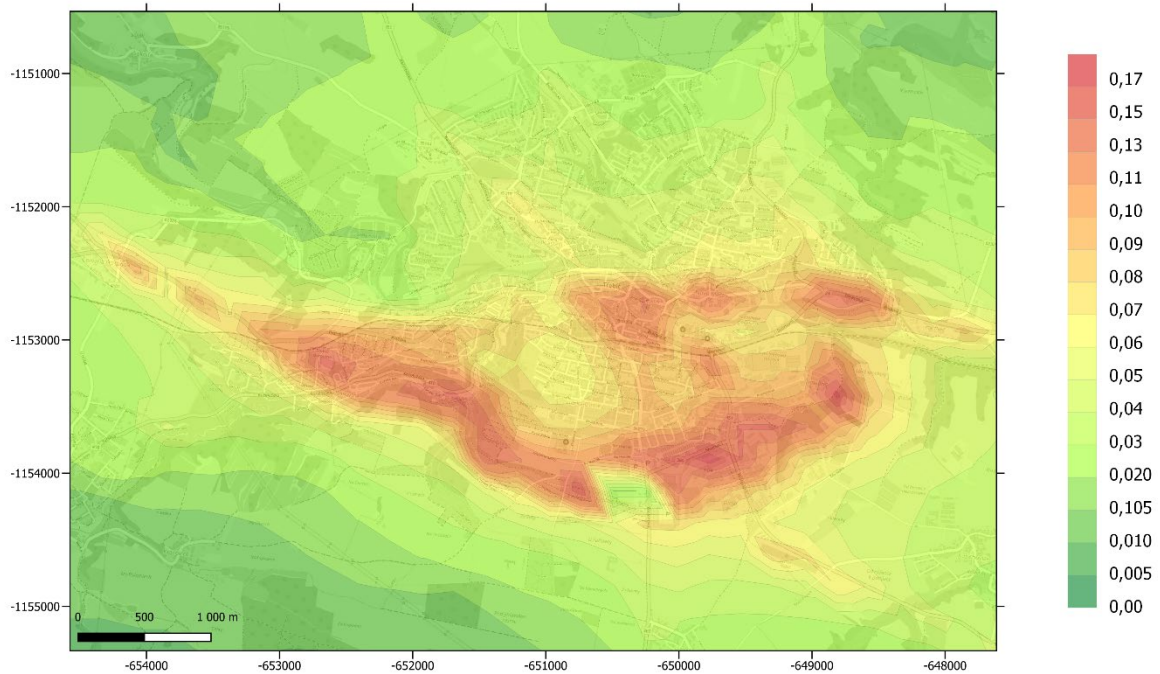
Příspěvek k průměrným ročním imisním koncentracím částic PM10 ($\mu\text{g}\cdot\text{m}^{-3}$)



Příspěvek k průměrným ročním imisním koncentracím částic PM_{2,5} ($\mu\text{g}\cdot\text{m}^{-3}$)

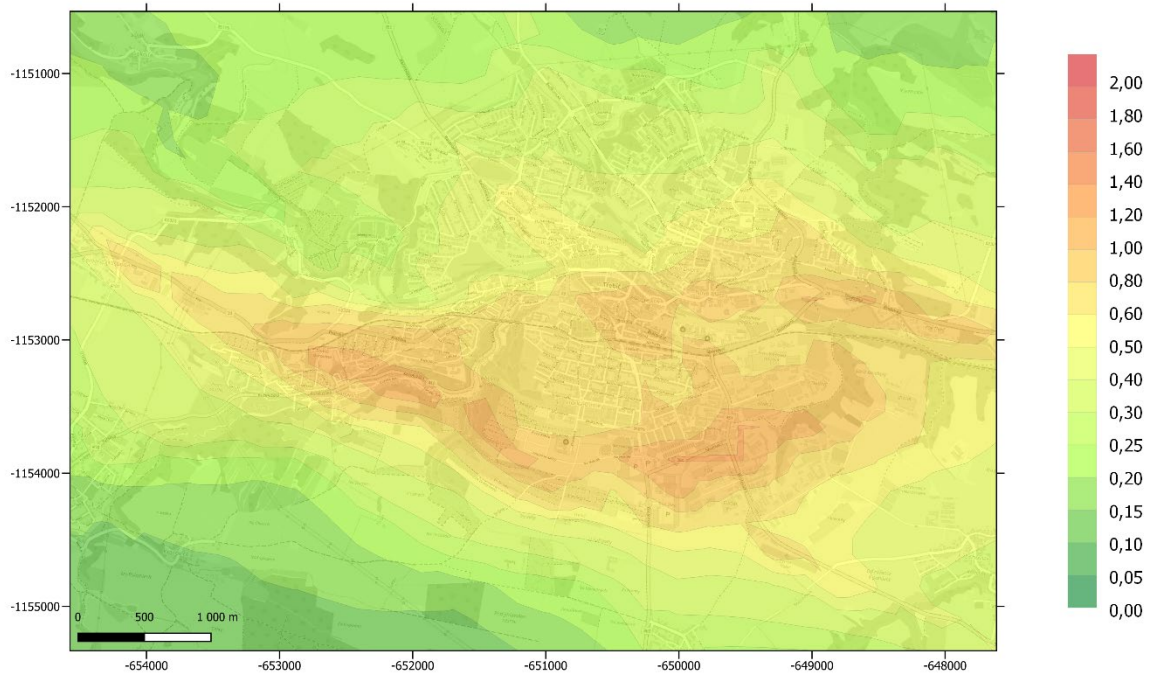


Příspěvek k průměrným ročním imisním koncentracím benzo[*a*]pyrenu ($\text{ng}\cdot\text{m}^{-3}$)

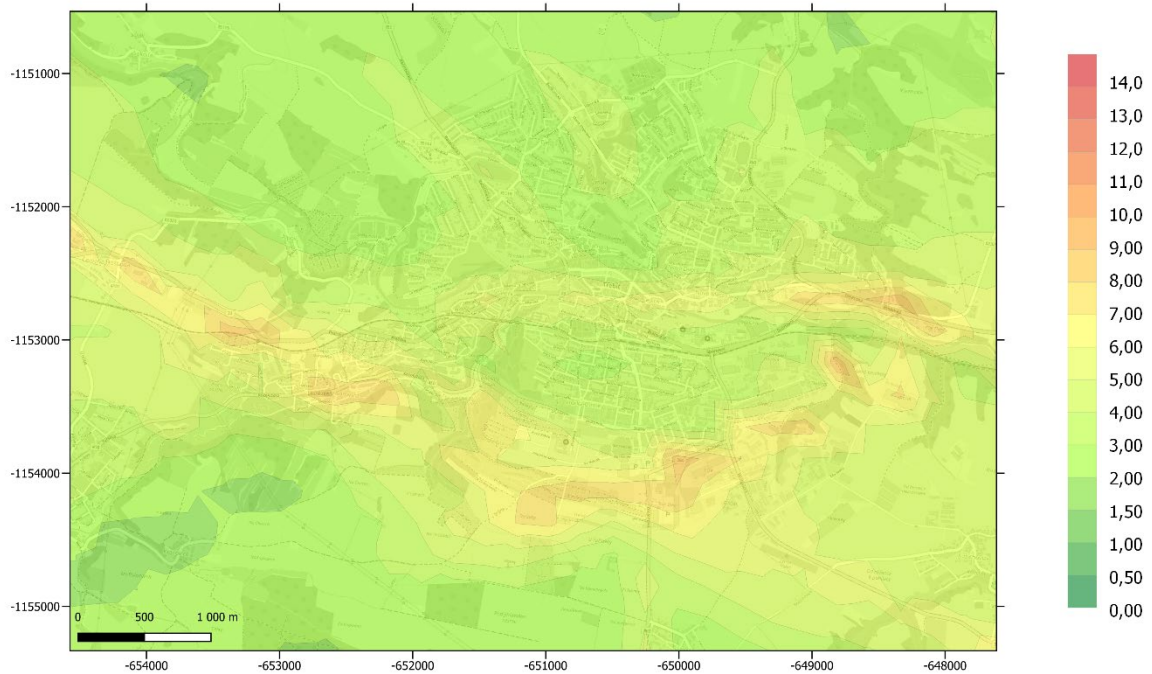


5. Scénář obchvat modelový rok 2030

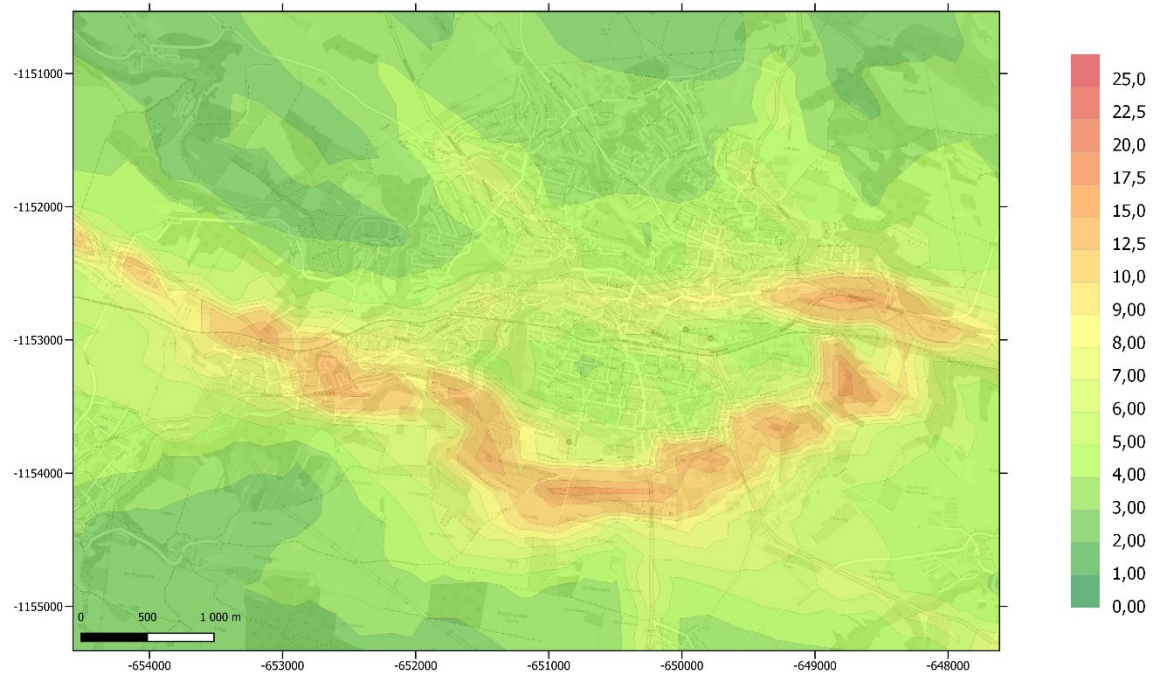
Příspěvek k průměrným ročním imisním koncentracím oxidu dusičitého ($\mu\text{g}/\text{m}^3$)



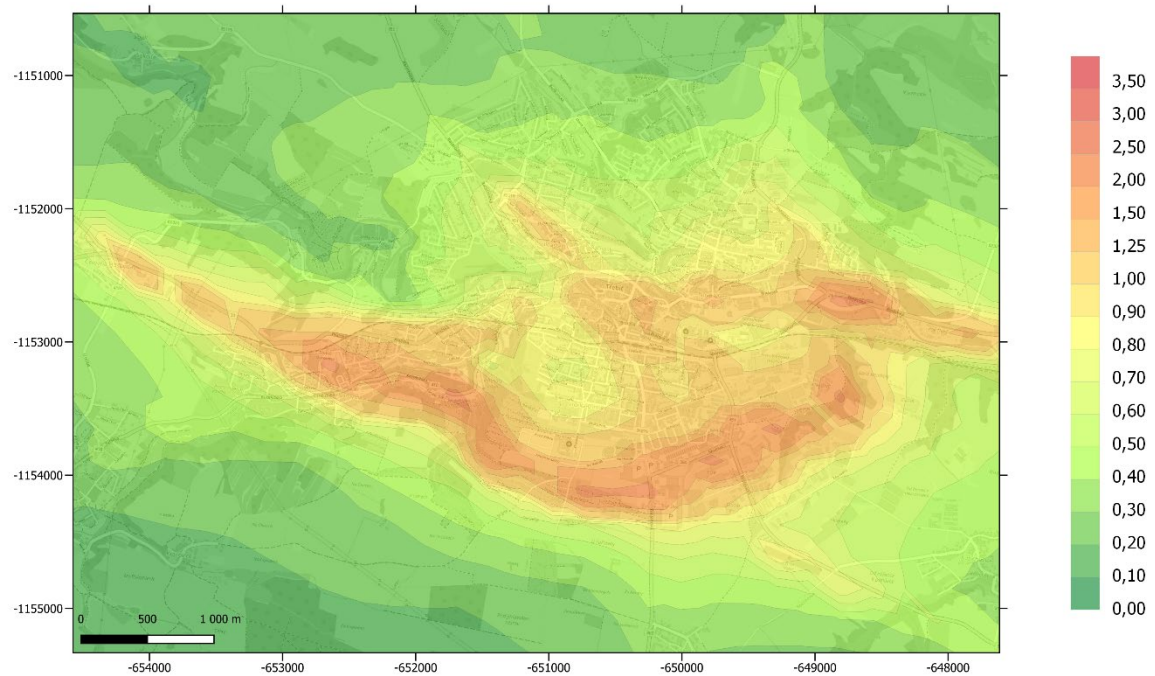
Příspěvek k maximálním hodinovým imisním koncentracím oxidu dusičitého ($\mu\text{g}\cdot\text{m}^{-3}$)



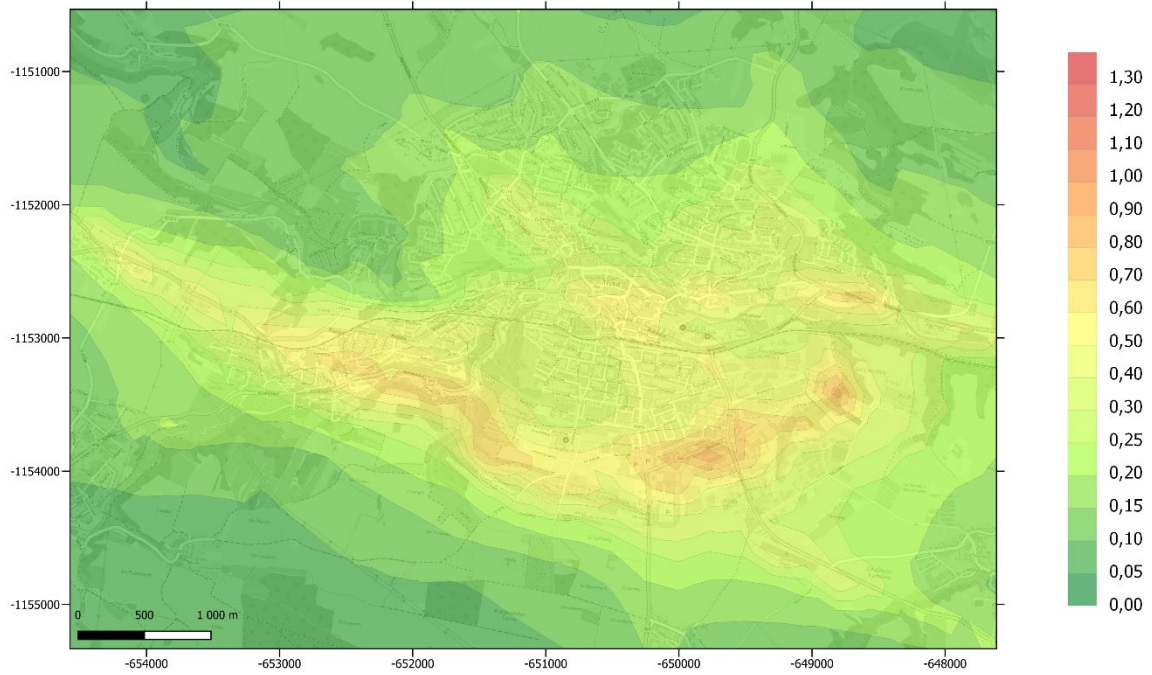
Příspěvek k nejvyšším denním imisním koncentracím částic PM10 ($\mu\text{g}\cdot\text{m}^{-3}$)



Příspěvek k průměrným ročním imisním koncentracím částic PM10 ($\mu\text{g}\cdot\text{m}^{-3}$)



Příspěvek k průměrným ročním imisním koncentracím částic PM_{2,5} ($\mu\text{g}\cdot\text{m}^{-3}$)



Příspěvek k průměrným ročním imisním koncentracím benzo[a]pyrenu ($\text{ng}\cdot\text{m}^{-3}$)

